

高玲. 2015年秋末河套地区一次罕见暴雪天气成因分析[J]. 陕西气象, 2017(1): 10-14.

文章编号: 1006-4354(2017)01-10-05

# 2015年秋末河套地区一次罕见暴雪天气成因分析

高玲

(巴彦淖尔市气象局, 内蒙古临河 015000)

**摘要:**利用常规气象资料、区域地面站加密观测资料、FY-2C卫星云图资料和临河多普勒天气雷达资料,对2015年11月5—6日巴彦淖尔市罕见暴雪天气过程进行分析。结果表明:高空低槽、700 hPa切变线、西南高空急流、蒙古地面冷高压和河套地面倒槽等是本次暴雪的影响系统;降雪前期河套地区具有高空辐散、低空辐合的特征,为强降雪天气提供了动力条件;500 hPa及以下层西南气流的水汽输送通道建立,为本次强降雪提供了充足的水汽条件;卫星云图上密实明亮的盾状云与内蒙古中部的暖高脊对应,强降雪主要发生在偏南低空急流的暖湿区中;强降雪时段雷达反射率因子最大值达40 dBZ,回波顶高度为3~5 km,局地6~8 km,径向速度线呈“S”型,低空有“牛眼”结构特征,同时出现正负速度(对)中心,风廓线上表现为低空风速较大且有暖平流进入;水汽主要集中在阴山以南地区,南部降雪量大于北部,反映了阴山的迎风坡作用。

**关键词:**河套地区;强降雪;卫星云图;雷达回波;地形;巴彦淖尔

**中图分类号:** P458.121

**文献标识码:** A

巴彦淖尔市地处内蒙古西部河套地区,11月干燥少雨,常年降雪量仅为1.4~2.5 mm。孟雪峰等<sup>[1]</sup>对内蒙的大雪进行了时空分布特征研究,认为内蒙古牧区雪灾主要发生在中部的巴彦淖尔市、乌兰察布市。张翼超等<sup>[2]</sup>对2009年初冬鄂尔多斯市一次暴雪低温天气的统计分析得出,该次降雪天气过程鄂尔多斯市普降大到暴雪,部分地区过程降雪量达大暴雪。本文利用常规气象资料、区域地面站加密观测资料和FY-2C卫星云图资料、临河多普勒天气雷达探测资料,对2015年11月5—6日巴彦淖尔市罕见暴雪天气过程的环流形势演变特征、卫星云图及雷达产品特征进行天气学分析。同时,对暴雪的成因进行了物理量场诊断分析,寻找暴雪预报着眼点,为内蒙古西部地区秋末强降雪预报提供参考。

## 1 前期气候背景和降雪概况

2015年为历史上第二强厄尔尼诺年,大气增温显著,等压面升高。由于热带等压面升高,阻止

极地冷空气南下,因此极地冷气团向南伸展的幅度缩小。受此大气环流影响,巴彦淖尔市极端天气频发。其中,6—8月气温异常偏低,降水异常偏少,多个县站达到历史极少值。进入9月又降水异常偏多,多个县站突破历史极值。11月继续受厄尔尼诺事件的气候环流影响,冷空气势力异常偏弱,暖湿气流异常偏强。

2015年11月5—6日巴彦淖尔市迎来了一场罕见的强降雪天气过程。全市大部分地区出现大到暴雪,南部地区降雪量大于北部(图1)。全市63站中60站出现降雪(或雨夹雪),其中,48站大于5 mm,32站大于10 mm,2站大于20 mm,最大降雪量为27 mm,出现在磴口县渡口镇,达到大暴雪。临河区(市政府所在地)日降雪量达16 mm。本次降雪过程的特点为降雪强度大、影响范围广,强降雪时段集中,持续时间短,是巴彦淖尔市近20年来同期最强的一次降雪天气过程。

收稿日期: 2016-04-18

作者简介: 高玲(1962—),女,河北深州人,大学本科,高工,从事天气预报及研究。

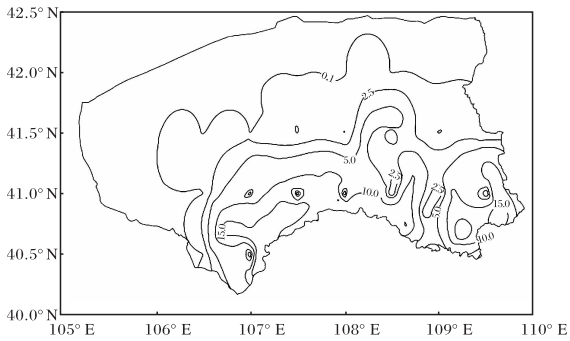


图1 2015-11-05T08—06T20

巴彦淖尔市降雪量分布(单位为 mm)

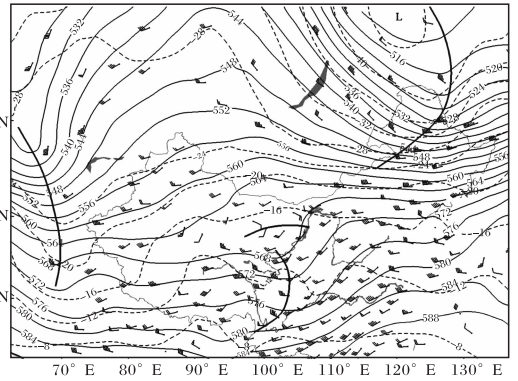


图2 2015-11-05T08 500 hPa 环流形势(实线为等高线,虚线为等温线,粗实线为槽线和切变线,下同)

## 2 高空环流形势特征

### 2.1 200 hPa

3日08时200 hPa天气图(图略)上,河套地区及上游有西南急流形成,风速为16~32 m/s;4日08时西南急流风速增大至24~48 m/s;5日08时西南急流风力维持在28~36 m/s。强降雪出现在高空急流出口区的左侧。

### 2.2 500 hPa

3日08时500 hPa天气图(图略)上,西西伯利亚存在-40℃的冷中心,东北以北地区受暖高压脊控制,90°E~120°E、40°N~58°N区域内冷平流异常活跃。河套及上游地区有高空槽生成并缓慢东移。4日08时,影响河套地区的高空槽与贝加尔湖槽合并,河套地区处于高空槽底部,冷平流主体东移至东北北部,蒙古国南部受弱冷平流影响,巴彦淖尔市仍处于冷平流前部暖平流的影响之下。西南暖湿气流向北推进至黄河南岸,甘肃东南部、宁夏、山西、陕西大部区域温度露点差 $t-t_d \leq 5^\circ\text{C}$ ,标志着黄河以南地区湿度明显加强。5日08时(图2),河套地区受西南气流的影响,阿拉善盟东南部的暖切变及南部的低槽向河套地区推进,河套及周边地区 $t-t_d \leq 4^\circ\text{C}$ ,基本具备了降水的湿度条件,此时在巴彦淖尔市的西南部开始降雪。5日20时西南气流继续影响巴彦淖尔市,暖切变持续控制河套地区,致使巴彦淖尔市大部地区产生较强的降雪天气。

### 2.3 700 hPa

3日08时700 hPa天气图(图略)上,蒙古国中部至河套地区受高空槽影响,蒙古国西北部及

上游地区冷平流明显,即90°E~105°E、40°N~50°N范围内有6条等温线密集区,温度场与高度场的交角接近90°,锋区显著,表明冷平流势力较强。4日08时,随着蒙古高空槽的东移,冷平流主体东移至内蒙古东北部,在阿拉善盟东南部至甘肃东部有高压脊逐渐发展。巴彦淖尔市受蒙古高空槽的影响, $t-t_d \leq 5^\circ\text{C}$ 的高湿区主要位于巴彦淖尔市东部和南部。5日08时(图3),锋区主要位于蒙古国及以东地区,阿拉善盟东南部至甘肃东部的高压脊东移北抬,在内蒙古中西部形成一强大的高压系统,即在河套地区西侧形成西北至东南向的高压脊。此时,黄河以南的南风急流到达河套地区后转为东南风,暖湿切变主要位于高压脊后部河套地区的西南部, $t-t_d \leq 3^\circ\text{C}$ 的高湿区分布于河套及周边地区,河套地区形成极为有利的降水形势。5日20时,位于内蒙古中西部的高压脊继续维持,黄河南部偏南风与偏东风的暖湿切变北抬至黄河一线,同时在河套地区的西南

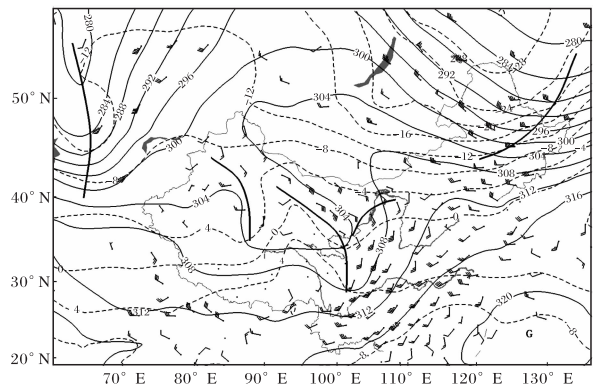


图3 2015-11-05T08 700 hPa 环流形势

部形成低涡,  $t-t_d \leq 3$  °C 的高湿区控制了河套地区大部。充足的西南水汽供应、弱冷空气影响及高压脊的阻挡作用, 导致巴彦淖尔市产生大到暴雪。

#### 2.4 850 hPa

5日08时850 hPa天气图(图略)上, 冷高压控制蒙古国, 巴彦淖尔处于高压底部、低压顶部。一方面渤海的水汽沿高压底部的偏东风向河套地区输送; 另一方面, 低压前部的偏南气流向北推进到达河套地区的过程中带来暖湿气流,  $t-t_d \leq 5$  °C 的湿区已经影响到河套及以南大部地区。充足的水汽条件利于巴彦淖尔市产生大到暴雪。

### 3 地面环流形势特征

4日08时, 中高纬度属于南低北高的环流形势。蒙古国被地面冷高压控制, 冷高压位于  $87^{\circ}\text{E} \sim 110^{\circ}\text{E}$ 、 $41^{\circ}\text{N} \sim 55^{\circ}\text{N}$  区域, 中心达  $1\ 047.0$  dagpm,  $40^{\circ}\text{N}$  以南基本由地面低压控制, 低压中心位于青藏高原以南达  $1\ 012.5$  dagpm。河套地区处于高低压之间, 地面低压倒槽由南向北伸向河套。5日08时, 蒙古冷高压稳定少动且增强, 河套南部的地面倒槽继续向北伸展与蒙古冷高压对峙, 河套处于地面倒槽的顶部, 冷暖空气交汇于河套地区北部, 气压梯度增大。此时, 降水由巴彦淖尔市西南部向东北部推进。5日14时(图4), 河套地区的地面倒槽继续向北发展, 降水区域随之向北扩展。受地面倒槽控制, 巴彦淖尔市大部地区出现降雪, 东部(乌拉特前旗)为雨夹雪, 且降水强度逐渐增大, 部分地区出现大到暴雪。6日, 地面低压倒槽继续向东北推进至蒙古国南部, 降雪区域东移, 巴彦淖尔市大部分地区降雪结束, 东部的乌拉特前旗仍有小量雨夹雪天气。

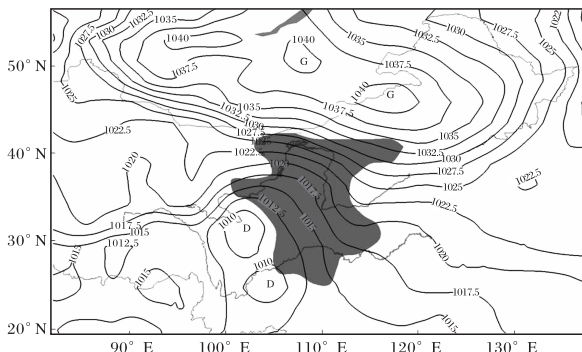


图4 2015-11-05T14地面形势(阴影为降雪区域)

### 4 物理量场特征

#### 4.1 湿度场

4日08时至5日20时, 河套及上游地区高层大气始终受西南或偏南暖湿气流控制, 中低层南风急流到达河套后转为偏东风, 在河套西侧形成西北—东南向的高压脊, 其后部的偏南气流将南方丰沛的水汽源源不断的输送至河套地区。从河套地区5日08时垂直相对湿度场和比湿场(图略)上可以看到, 河套地区的湿层主要位于700 hPa以下, 尤其是850 hPa至近地面相对湿度达90%~100%, 比湿为5~6 g/kg, 充分显示出低空南风急流的水汽输送作用。

#### 4.2 涡度与散度场

河套地区降雪前一天(4日08—20时), 低空为正涡度、负散度(850 hPa上涡度中心值为  $18 \times 10^{-5} \text{ s}^{-1}$ , 散度中心值为  $-1 \times 10^{-5} \text{ s}^{-1}$ ); 高空为负涡度、正散度(300~400 hPa 涡度中心值为  $-1 \times 10^{-5} \text{ s}^{-1}$ , 散度中心值为  $1 \times 10^{-5} \text{ s}^{-1}$ ), 出现高空辐散、低空辐合的特征, 但是在降雪当日(5日08—20时), 由于已经产生降雪, 能量得到释放, 河套地区上空正涡度开始减弱, 逐渐出现负涡度, 散度场表现为负散度逐渐由正散度所取代。

#### 4.3 温度对数压力图及气象指数特征

从温度对数压力图(图略)可以看出, 强降雪发生时, 大气整层稳定。800~400 hPa相对湿度  $\geq 80\%$ , 即湿层深厚; 低层850 hPa有逆温层; 700~500 hPa存在风切变。气象指数表现特征为, K指数  $\leq 2$  °C, 沙氏指数  $\leq 17$  °C, CAPE为0 J/kg。以上稳定度及气象指数表明, 本次巴彦淖尔市强降雪天气不具备对流性天气特征。

### 5 卫星云图及雷达产品特征

#### 5.1 卫星云图

在FY-2C卫星云图上, 11月5日00时开始, 在巴彦淖尔市西南部上空覆盖着逗点状的中低云团, 随着时间的推移, 此云系从巴彦淖尔市西南部逐渐向东北方向推进。由于偏南暖湿气流较强, 其卷云盾发展旺盛。在可见光和红外云图中, 也可以看到密实明亮的盾状云恰与蒙古国中部的暖高脊对应, 其北部为高空急流, 形成清晰的高云边界, 南部是对流层的偏南低空急流, 即为暖湿气

流,巴彦淖尔强降雪主要发生在暖湿区中。

## 5.2 雷达产品

从5日07时—6日09时,黄河南边有较强的雷达回波生成,在西南暖湿气流源源不断的补充下,回波面积逐渐变大,强度增强,且从南向北逐渐推进。6日09时,雷达回波强度趋于减弱,雷达回波持续时间近12 h。巴彦淖尔市强降雪集中发生在5日11—15时和22—24时。下面从两个时段中各选取有代表性的雷达产品进行分析。

第一时段,5日14:02(图5、图6),雷达回波结构松散,且覆盖河套地区,回波主体分两部分,一部分位于鄂尔多斯市境内,另一部分分布于巴彦淖尔市南部。位于巴彦淖尔市南部的回波强度最大值为40 dBZ;径向速度图上,径向速度分布呈“S”型,低空有“牛眼”结构特征,出现明显的正

负速度对中心;回波顶高度为3~5 km,局部达到6~8 km;从风廓线分析,高层和低层风速较大,而700 hPa风速较小,低空有大风区且有暖平流。

第二时段,5日22—24时,回波强度整体减弱,基本反射率因子在25 dBZ以下,回波顶高在3 km以下。低层有暖平流、偏东风并有大风区,高层依然为西南风。从速度图上可以看到,22:30,零速度线向暖区弯曲,为大面积的辐合流场,且回波整体移动速度较慢;6日07:05,回波面积缩小,强度减弱,速度图中“牛眼”消失,速度减小,并且转为一致的东风,巴彦淖尔市大部地区降雪趋于结束。

从以上分析可以看出,本次暴雪天气,雷达回波强度整体偏弱且稳定,回波顶高度基本位于6 km以下,低层有暖平流进入,表明为此次降雪过程为稳定的层状云降雪。

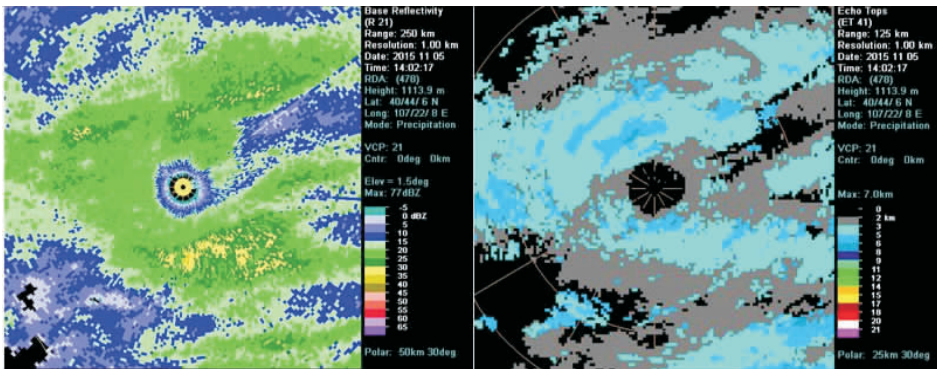


图5 2015-11-05T14:02 临河多普勒雷达回波反射率因子和回波顶高

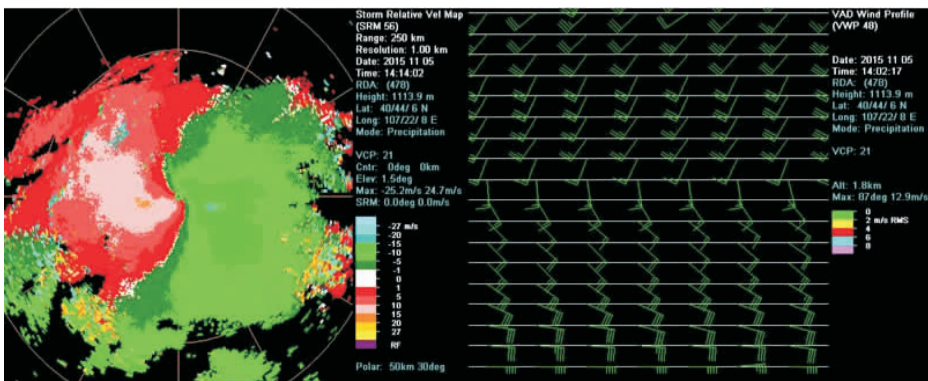


图6 2015-11-05T14:02 临河多普勒雷达回波径向速度和风廓线

## 7 地形的影响

由于地形的影响,迎风坡对强降雪产生的作用显著。狼山与乌拉山属于阴山一脉,位于巴彦淖尔市西部和东部,横亘于乌拉特后旗和乌拉特

前旗的南北交界处。在降雪的过程中,由于近地层主要以偏南风或东南风为主,因此水汽主要集中在阴山以南地区。实况表明,阴山以南降雪量在10 mm以上,大部地区达到暴雪,个别乡镇达

苗运玲,张林梅,卓世新.哈密绿洲近55年日照和风速变化特征[J].陕西气象,2017(1):14-19.

文章编号:1006-4354(2017)01-14-06

# 哈密绿洲近55年日照和风速变化特征

苗运玲<sup>1</sup>,张林梅<sup>2</sup>,卓世新<sup>1</sup>

(1.哈密地区气象局,新疆哈密 839000;2.阿勒泰地区气象局,新疆阿勒泰 836500)

**摘要:**利用哈密绿洲1961—2015年6个国家气象站逐日日照时数和风速观测资料,采用线性趋势、Mann-Kendall突变检验、Morlet小波分析等方法研究该地区近55a日照时数和风速的年际、年代际、季和月的变化特征。结果表明:近55a哈密绿洲日照时数和风速年际、年代际变化幅度都较大,最小值均出现在20世纪90年代,最大值出现时间明显不同,日照时数出现在2011年,风速在1966年。哈密绿洲日照时数呈显著增加趋势,气候倾向率为6.5 h/10 a,以红柳河增加最突出,气候倾向率达22.0 h/10 a;年平均风速呈明显的减少趋势,气候倾向率为-0.06(m/s)/10 a,以哈密减小的趋势最明显,气候倾向率达到-3.5(m/s)/10 a。日照时数没有明显突变,1975年为风速明显减小的突变年。日照时数存在准9a的年际振荡周期和准20a的年代际振荡周期,风速存在准10a、18a年代际振荡周期。

**关键词:**哈密绿洲;日照;风速;变化特征

**中图分类号:**P467

**文献标识码:**A

为了减少环境污染,太阳能和风能等绿色资源作为可再生能源引起社会各界的高度关注,太阳能和风能不仅是近年来人类社会可持续发展的主要能源,也是气候研究的主要因子<sup>[1-2]</sup>。太阳辐

射是地球上一切能量的主要来源,是气候形成的重要因素,而日照是太阳辐射最直观的表现,研究日照时数的分布规律,对农业生产布局、城市建设规划、太阳能电站设计等具有重要的现实意义<sup>[3]</sup>;

**收稿日期:**2016-07-29

**作者简介:**苗运玲(1976—),女,汉族,新疆哈密人,学士,高级工程师,从事灾害性天气研究。

**基金项目:**新疆维吾尔自治区人民政府“新疆吐鲁番哈密地区空中云水资源开发利用”项目子课题(TUHA201508)

到大暴雪,明显大于北部地区。

## 8 结论

(1)深厚的高空低槽、700 hPa切变线、200 hPa西南急流、蒙古地面冷高压和河套地面倒槽等是本次暴雪天气的影响系统。

(2)降雪前期河套地区具有高空辐散、低空辐合的特征,为强降雪天气提供了动力条件;500 hPa及以下西南气流水汽输送通道的建立,为本次强降雪提供了充足的水汽条件。

(3)卫星云图上卷云盾发展旺盛,密实明亮的盾状云与内蒙古中部的暖高脊对应,其北部为高空急流,南部是对流层的偏南低空急流,强降雪主要发生在偏南低空急流的暖湿区中。

(4)强降雪时段雷达反射率因子最大值达40 dBZ,回波顶高度为3~5 km,局地6~8 km,径向速度线呈“S”型,低空有“牛眼”结构特征,风廓线上表现为低空风速较大且有暖平流进入。水汽主要集中在阴山以南地区,南部降雪量大于北部,这与阴山的迎风坡作用有关。

## 参考文献:

- [1] 孟雪峰,孙永刚,云静波,等.内蒙古大雪的时空分布特征[J].内蒙古气象,2011(1):3-6.
- [2] 张翼超,张占清,王展智.2009年初冬鄂尔多斯市一次暴雪低温天气[J].内蒙古气象,2010(1):11-13.